



تأثیر جانشانی روی بر تغییرات ساختار میکروسکوپی و خواص مغناطیسی فریت منیزیم

Mg_{1-x}Zn_xFe₂O₄

محمد نیایی فر^{*}، سمیه نظری، احمد حسن پور

دانشگاه آزاد اسلامی، واحد اهواز، گروه فیزیک، اهواز

(دریافت مقاله: ۹۳/۳/۷ ، نسخه نهایی: ۹۳/۸/۱۸)

چکیده: در این پژوهش نانو ذرات فریت منیزیم روی به روش سل ژل تهیه شدند. تحلیل پراش پرتو ایکس (XRD)، نشان می‌دهد که تمام نمونه‌ها به صورت تک فاز در ساختار اسپینل مکعبی متبلور شده‌اند. میانگین اندازه‌ی بلورک‌ها از ۱۳ تا ۲۹ نانومتر براورد شد. همچنین پارامترهای شبکه و طول پیوند جایگاه‌های چاروجهی (R_A) و هشتوجهی (R_B) نمونه‌ها تعیین شدند. مقدار R_A (R_B) با افزایش میزان روی افزایش (کاهش) یافته. بیناب سنج فروسرخ (FT-IR) پیوند اصلی ۷ در گستره $1000\text{--}450\text{ cm}^{-1}$ را بنابر ترکیب‌های چاروجهی نشان می‌دهد. تصویر میکروسکوپ الکترونی روبشی (SEM) توزیع یکنواخت اندازه‌ی ذرات را نشان می‌دهد. مغناطش اشباع و نیروی وادارندگی فریت منیزیم روی نیز با استفاده از مغناطیسی‌سنج ارتعاشی (VSM) مورد بررسی قرار گرفتند. مغناطش اشباع نمونه‌ها نخست تا $x = 0.4$ افزایش و سپس کاهش می‌یابد. این تغییرات به افزایش گشتاور مغناطیسی و کج شدگی اسپین در جایگاه B نسبت داده می‌شود.

واژه‌های کلیدی: فریت منیزیم روی؛ پراش پرتو/ایکس؛ مغناطیسی‌سنج/ارتعاشی؛ بیناب سنج فروسرخ.

به روش‌های گوناگونی همانند هم‌رسوبی، سرامیکی و سل-ژل تهیه شده است [۵-۷]. تأثیر جانشانی یون روی بر خواص ساختاری و مغناطیسی فریت منیزیم توسط بسیاری از محققین مورد بررسی قرار گرفته است. مازن و همکارانش [۸] خواص مغناطیسی و فیزیکی فریت منیزیم روی را مورد بررسی قرار دادند که با روش سرامیکی ساخته شده بودند. بنابر گزارش آن‌ها مغناطش اشباع این فریت تا $x = 0.4$ افزایش می‌یابد و سپس روند کاهشی نشان می‌دهد. اونانکاد و همکارانش [۹] نانوذرات فریت منیزیم روی را با روش حالت جامد به دست آورden. در گزارش‌های آن‌ها بیان شده است که مقدار مغناطش اشباع نانوذرات با افزایش Zn تا $x = 0.35$ افزایش یافته و سپس کاهش می‌یابد. رفتار مغناطیسی این فریت که به روش سل ژل تهیه شده بود

مقدمه

مواد مغناطیسی نانو بلوری در سال‌های اخیر به علت خواص جدید و منحصر به‌فردشان مورد بررسی قرار گرفته است. در این میان، فریت‌ها مواد مغناطیسی مهمی هستند که به‌طور گسترده در ساخت بسیاری از دستگاه‌های الکترومغناطیسی از قبیل القاگرهای، تبدیل‌ها و جذب کننده‌های امواج الکترومغناطیسی کاربرد دارند. فرمول کلی فریت‌های مکعبی MFe_2O_4 است که M یک یا چند یون دو ظرفیتی است [۱۱]. نانو ذرات فریت منیزیم روی به دلیل داشتن ویژگی‌هایی چون مقاومت ویژه‌ی الکتریکی بالا و ثابت دی الکتریک بالا در ترانسفورماتورها، آنتن‌ها و هسته‌ی سیم‌پیچ‌ها کاربرد دارد [۳، ۲]. فریت منیزیم اسپینل جزئی و فریت روی دارای ساختار اسپینلی است [۴]. نانو ذرات فریت منیزیم روی *نویسنده مسئول، تلفن: ۰۶۱۱۴۴۵۷۱۷۴-۷، نمبر: ۴۴۳۵۲۸۸

Elmer BX II مدل ۱۸۵۲۵۶ به دست آمد. همچنین برای بررسی ریخت‌شناسی نمونه‌ها از دستگاه SEM مدل ۳۲۰۰ EM ساخت شرکت KYKY استفاده شد و رفتار مغناطیسی نمونه‌ها به‌وسیله‌ی دستگاه VSM ساخت شرکت مغناطیو کویر کاشان مورد بررسی قرار گرفت.

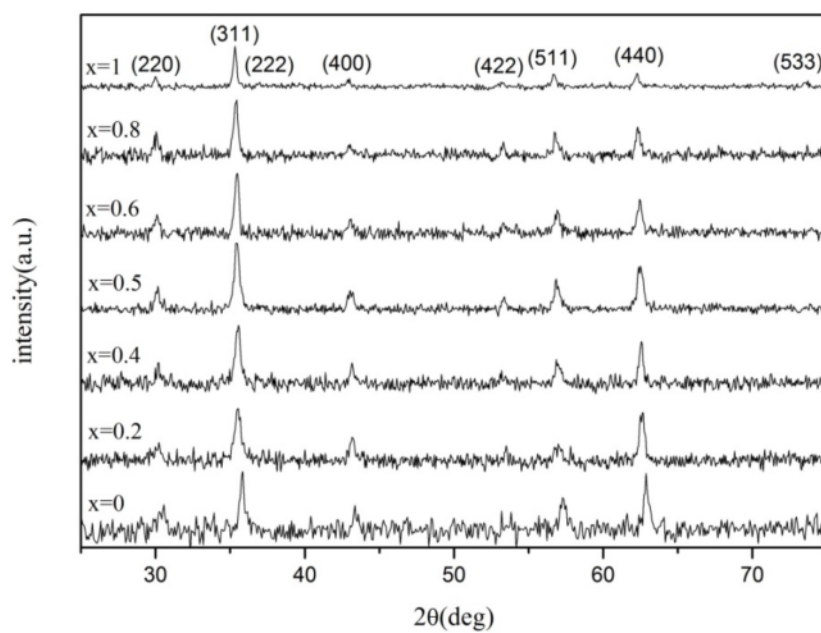
بحث و بررسی

الگوی پراش پرتو ایکس نانو ذرات فریت منیزیم روی $Mg_{1-x}Zn_xFe_2O_4$ با مقادیر جای‌نشانی مختلف ($x = 0.05, 0.08, 0.1, 0.2, 0.4, 0.5$) در شکل ۱ نشان داده شده است. تحلیل پراش پرتو ایکس نشان داد که ساختار اسپینل مکعبی تک‌فاز با استفاده از کارت استاندارد ($101-089-3084$) برای تمام نمونه‌ها تأیید می‌شود. با استفاده از فرمول دبی شرر میانگین اندازه‌ی بلورک‌ها از 13 nm تا 29 nm براورد شد. مقادیر اندازه‌ی بلورک‌ها در جدول ۱ آورده شده‌اند. چنانکه از شکل ۲ مشاهده پیداست، با افزایش جای‌نشانی روی، میانگین اندازه‌ی بلورک‌ها تقریباً به صورت خطی افزایش یابد. درواقع جای‌نشانی روی به تشکیل فاز اسپینلی کمک می‌کند به این معنا که جای‌نشانی روی باعث کاهش کمینه دمای لازم برای تشکیل فاز اسپینلی می‌شود. این نتیجه بیانگر این است که اضافه کردن روی، فرایند رشد ذره را بالا می‌برد. نتیجه‌ی مشابهی برای فریت نیکل روی منیزیم جای‌نشانی شده با مس نیز گزارش شده است [۱۴]. بررسی‌های فریت نیکل روی نشان داد که یکی از پارامترهای مهم برای رشد بلور تراکم مولکولی ذرات کوچک روی سطح طی فرآیند رشد است [۱۵]. در حقیقت، افزایش اندازه‌ی بلورک‌ها را می‌توان به تغییرات آنتالپی تشکیل نمونه‌ها نسبت داد. آنتالپی تشکیل فریت منیزیم -267 kCal/mol و فریت روی ($\Delta H = -493 \text{ KCal/mol}$) است [۱۶]. بنابراین می‌توان نتیجه گرفت که تشکیل فریت منیزیم نسبت به فریت روی گرمایانه‌تر است. در نتیجه دمای سطحی کاهش یافته و تراکم مولکولی ذرات کوچک روی سطح افزایش می‌یابد، و باعث رشد بلور می‌شود. نتایج مشابهی توسط محققین دیگر در نمونه‌های نیکل روی گزارش شده‌اند [۱۷، ۱۸]. شکل ۲ تغییرات ثابت شبکه نمونه‌ها را با جای‌نشانی مختلف روی نشان می‌دهد، همان‌طور که مشاهده می‌شود، ثابت شبکه با افزایش میزان جای‌نشانی روی افزایش می‌یابد. افزایش در ثابت شبکه را می‌توان به جای‌نشانی روی با شعاع یونی بزرگتر (0.74 \AA) نسبت به منیزیم با شعاع یونی کوچکتر (0.66 \AA) نسبت داد.

توسط هاک و همکارانش [۱۰] نیز مورد بررسی قرار گرفته است. بنابر بررسی و تحلیل مغناطیسی این فریت معلوم شد که مغناطش اشباع تا $x = 0.4$ افزایش می‌یابد و با ادامه جای‌نشانی روند کاهشی خواهد داشت. زیا و همکارانش [۱۱] نانوذرات فریت منیزیم روی را با روش گرمابی به دست آورده و بنابر گزارش آن‌ها، با جای‌نشانی روی مغناطش اشباع نخست افزایش ($x = 0.6$) و سپس کاهش می‌یابد. تغییرات زاویه‌ی چودامانی با افزایش میزان روی در فریت منیزیم روی توسط آن‌ها میانگین اندازه بلورک‌ها در گستره $12-25 \text{ nm}$ گزارش شد بنابر گزارش دارد. مانیکاندان و همکارانش [۱۲] خواص مغناطیسی فریت منیزیم روی را مورد بررسی قرار دادند. آن‌ها فریت منیزیم روی را به روش احتراق ریزموجی به دست آورده‌اند. بنابر گزارش آن‌ها مغناطش اشباع نخست تا $x = 0.5$ افزایش و با ادامه جای‌نشانی کاهش خواهد یافت. نانوذرات فریت منیزیم روی با اندازه‌ی بلورک‌های $34-49 \text{ nm}$ نیز توسط حجارپور و همکارانش با روش گلیسین- نیترات ساخته شد. بنابر بررسی آن‌ها، این نانوذرات مغناطش اشباع این فریت تا $x = 0.4$ افزایش و سپس کاهش خواهد یافت. در این پژوهش، نانو ذرات فریت منیزیم روی به روش سل ژل، به دلیل مزایایی چون دمای پایینتر و اندازه‌ی ذرات کوچک‌تر، تهیه شده است و خواص ساختاری و مغناطیسی آن مورد بررسی قرار گرفت.

روش کار

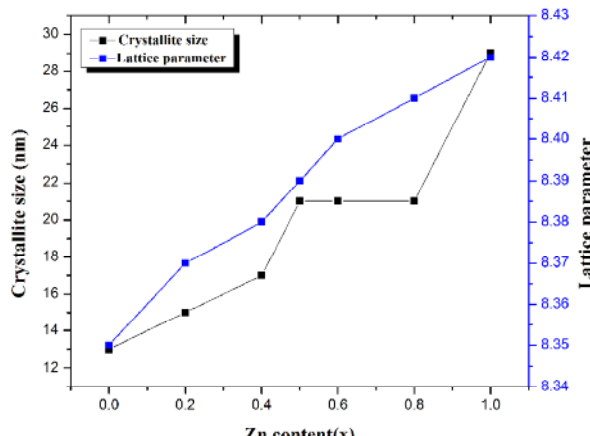
برای تهیه نانو ذرات فریت منیزیم- روی نخست محلول‌هایی از نمک‌های نیترات منیزیم $Mg(NO_3)_2 \cdot 6H_2O$ ، نیترات آهن $Fe(NO_3)_3 \cdot 9H_2O$ و نیترات روی $Zn(NO_3)_2 \cdot 6H_2O$ در آب یون زدایی شده تهیه و سپس محلول اسید سیتریک با فرمول $C_3H_8O_7 \cdot H_2O$ به این محلول اضافه شد. محلول با یک همزن مغناطیسی به مدت ۱۵ دقیقه در دمای اتاق هم زده شد، سپس برای تنظیم $pH = 7$ به محصول حاصل آمونیاک ده مولار اضافه شد. محلول نهایی در دمای $20^\circ C$ درجه‌ی سانتی‌گراد گرما داده شد تا سل حاصل به ژل تبدیل شود. سپس ژل به دست آمده در آون با دمای $200^\circ C$ به مدت ۲ ساعت قرار گرفت تا کاملاً خشک شود. در نهایت پودر خشک شده به منظور کلسینه شدن در دمای $600^\circ C$ به مدت ۳ ساعت در کوره قرار گرفت. الگوی پراش پودرهای تهیه شده با یک دستگاه XRD مدل ۳۰۰۳ Seifert با شعاع یونی $450-4000 \text{ cm}^{-1}$ در گستره‌ی عدد موج با FT-IR Perkin



شکل ۱ الگوی پراش پرتو X پودر نانوذرات فریت منیزیم روی $(\text{Mg}_{1-x}\text{Zn}_x\text{Fe}_2\text{O}_4)$ (x = 0, 0.2, 0.4, 0.5, 0.6, 0.8, 1) جای نشانی روی

جدول ۱ مقادیر اندازه بلورکها (nm)، ثابت شبکه (Å)، مغناطش اشباع (emu/g)، و ادارندگی (Oe) فریت منیزیم روی با افزایش جای نشانی روی $(\text{Mg}_{1-x}\text{Zn}_x\text{Fe}_2\text{O}_4)$ (x = 0, 0.2, 0.4, 0.5, 0.6, 0.8, 1)

(x)	ثبت شبکه	اندازه بلورک	Ms	وادرندگی
0	8.35	13	18.05	47.82
0.2	8.37	15	26.76	51.29
0.4	8.38	17	39.56	58.30
0.5	8.39	21	34.41	22.91
0.6	8.40	21	24.56	17.74
0.8	8.41	21	-	-
1	8.42	29	-	-



شکل ۲ تغییرات ثابت شبکه (a) و اندازه بلورکهای فریت منیزیم روی $(\text{Mg}_{1-x}\text{Zn}_x\text{Fe}_2\text{O}_4)$ بر حسب مقادیر جای نشانی (0, 0.2, 0.4, 0.5, 0.6, 0.8, 1) (x = 0, 0.2,

منیزیم روی با روش درون‌یابی به دست آمده است. مقادیر مختلف δ و R_A و R_B و u در جدول ۲ آورده شده‌اند. با استفاده از روابط ۳ تا ۵، طول‌های پیوند جایگاه‌های چاروجه‌ی و هشت‌وجهی بین یونی و زاویه‌های پیوندی که احتمالاً سهم زیادی در تغییرات شبکه اسپینلی دارند را محاسبه کرد. در شکل ۳ زاویه‌های پیوندی و فاصله‌های بین یونی مشخص شده است.

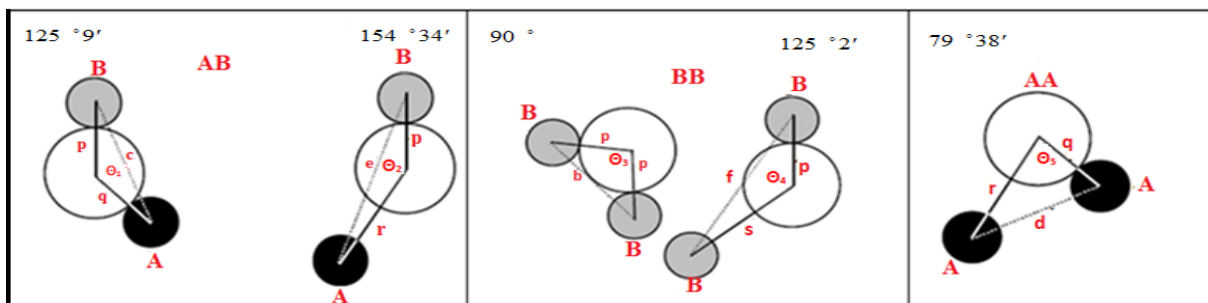
طول پیوند جایگاه چاروجه‌ی R_A و طول پیوند جایگاه هشت‌وجهی R_B با استفاده از معادله‌های زیر به دست می‌آیند [۱۹]:

$$R_A = a\sqrt{3}(\delta + \frac{1}{8}) \quad ۳$$

$$R_B = a\sqrt{3\delta^2 - \frac{\delta}{2} + \frac{1}{16}} \quad ۴$$

$$\delta = u - 0.375 \quad ۵$$

که δ انحراف پارامتر اکسیژن، a ثابت شبکه و u پارامتر اکسیژن است. پارامتر اکسیژن ایده‌آل برابر ۰.۳۷۵ است [۲۰]. با توجه به اینکه پارامتر اکسیژن برای فریت منیزیم ۰.۳۸۱ [۲۱] و برای فریت روی ۰.۳۸۵ است [۲۲]، مقادیر u برای فریت



شکل ۳ فاصله بین یونی، زاویه بین کاتیون-آنیون و کاتیون-کاتیون در جایگاه چاروجه‌ی و هشت‌وجهی در فریت اسپینلی [۲۱].

جدول ۲ مقادیر R_A ، R_B ، R_x ، $R_{x''}$ ، u ، δ ، $R_{x\perp}$ و $R_{x\parallel}$ فریت منیزیم جای‌نشانی شده با روی $Mg_{1-x}Zn_xFe_2O_4$ (۰.۰۲، ۰.۰۴، ۰.۰۵، ۰.۰۶، ۰.۰۸، ۱) (.x = ۰.۰۲، ۰.۰۴، ۰.۰۵، ۰.۰۶، ۰.۰۸، ۱)

(x)	u^*	δ^*	$R_A(\text{\AA})^*$	$R_B(\text{\AA})^*$	$R_x(\text{\AA})^*$	$R_{x\perp}(\text{\AA})^*$	$R_{x\parallel}(\text{\AA})^*$
۰	۰.۳۸۱	۰.۰۰۶	۱.۹۶۵	۲.۰۳۹	۳.۰۹۵	۲.۸۱۲	۲.۹۵۵
۰.۲	۰.۳۸۱۸	۰.۰۰۶۸	۱.۹۱	۲.۰۳۷	۳.۱۲۰	۲.۷۹۸	۲.۹۶۰
۰.۴	۰.۳۸۲۶	۰.۰۰۷۶	۱.۹۲۶	۲.۰۳۴	۳.۱۴۵	۲.۷۸۴	۲.۹۶۷
۰.۵	۰.۳۸۳	۰.۰۰۸	۱.۹۳۵	۲.۰۳۲	۳.۱۶	۲.۷۸۰	۲.۹۷۳
۰.۶	۰.۳۸۳۴	۰.۰۰۸۴	۱.۹۳۹	۲.۰۳۱	۳.۱۶۷	۲.۷۹۸	۲.۹۷۰
۰.۸	۰.۳۸۴۲	۰.۰۰۹۲	۱.۹۵۵	۲.۰۲۷	۳.۱۹۲	۲.۷۵۴	۲.۹۶۳
۱	۰.۳۸۵۰	۰.۰۱	۱.۹۷۰	۲.۰۲۶	۳.۲۱۸	۲.۷۴۱	۲.۹۸۱

*: پارامتر اکسیژن u : انحراف از پارامتر اکسیژن R_A : طول پیوند جایگاه چاروجه‌ی R_B : طول پیوند جایگاه هشت‌وجهی

R_x : طول لبه هشت‌وجهی مشترک $R_{x''}$: طول لبه چاروجه‌ی

برای همه فریت‌های اسپینلی دارای سرنشی‌های مشترک هستند [۳۱]. این گستره‌ی، ارتعاشات یون‌ها در شبکه‌ی بلوری را تعیین می‌کنند [۳۲]. پیوند بسامدی V_1 فریت منیزیم روی که در شکل ۴ نشان داده شده است، در گستره‌ی این اندازه‌گیری است. چنانکه از شکل ۴ پیداست، موقعیت پیوند V_1 تغییر جهت تقریباً خطی به سمت عدد موج کمتر دارد. پیوند V_1 از $573/23\text{ cm}^{-1}$ برای نمونه‌ی خالص شروع می‌شود و تا $544/02\text{ cm}^{-1}$ برای نمونه‌ی جای‌نشانی شده کاهش می‌یابد. این گستره، (پیوند V_1)، ارتعاش‌های انبساطی $\text{Zn}^{2+}\text{-O}^{2-}$ و $\text{Fe}^{3+}\text{-O}^{2-}$ در جایگاه چاروجهی را مشخص می‌کند. تغییر مکان این پیوند با جای‌نشانی روی، تغییرات ساختاری در جایگاه چاروجهی با ترکیب را نشان می‌دهد. این نتایج مشابه با نتایجی است که محمد برای فریت منیزیم روی که به روش سرامیک به دست آمده است [۲۳] و راقاوندر^۱ برای فریت نیکل روی [۳۰] گزارش داده‌اند. کاهش در موقعیت پیوند V_1 را نیز می‌توان به افزایش در طول پیوند اکسیژن کاتیون (A-O) نسبت داد. طول پیوند اکسیژن کاتیون در بخش تغییرات ساختاری محاسبه شد. این مطلب نشان‌دهنده این است که کاهش در پیوندهای اکسیژن-فلز در جایگاه چاروجهی، به علت جایگزینی یون‌های Fe^{3+} با یون‌های Zn^{2+} است. در واقع قرار گرفتن یون‌های Zn^{2+} در جایگاه چاروجهی، سبب می‌شود تا تعدادی از یون‌های Fe^{3+} از جایگاه چاروجهی به جایگاه هشت‌وجهی مهاجرت کنند که باعث افزایش طول پیوند اکسیژن-فلز در جایگاه چاروجهی در ساختار اسپینلی می‌شود. زاکی^۲ و همکاران نتیجه‌ی مشابهی برای فریت مس روی گزارش داده‌اند [۳۳].

در شکل ۵ تصاویر میکروسکوپ الکترونی روبشی نانو ذرات فریت منیزیم جای‌نشانی شده با روی نشان داده شده است. ذرات دارای ریخت‌شناسی کروی شکل هستند. توزیع اندازه‌ی ذرات در آن‌ها تقریباً یکسان است. اندازه‌ی ذرات با افزایش جای‌نشانی بزرگ‌تر شده‌اند. میانگین اندازه‌ی ذرات $47\text{ }\mu\text{m}$ و $56\text{ }\mu\text{m}$ نانومتر برآورد شده است. یکنواخت بودن توزیع اندازه‌ی ذرات را می‌توان در نمودار تعداد نانوذرات بر حسب اندازه در شکل ۶ مشاهده کرد.

طول لبه‌ی چاروجهی R_x' ، طول هشت‌وجهی مشترک $R_{x''}$ و طول لبه‌ی هشت‌وجهی غیر مشترک R_x نیز با روابط ۶ تا ۸ به دست می‌آیند [۲۶].

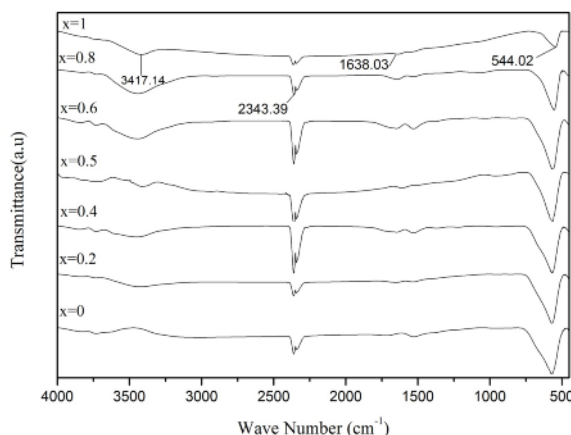
$$R_x = a\sqrt{2}(2u - 0.5) \quad 6$$

$$R_{x'} = a\sqrt{2}(1 - 2u) \quad 7$$

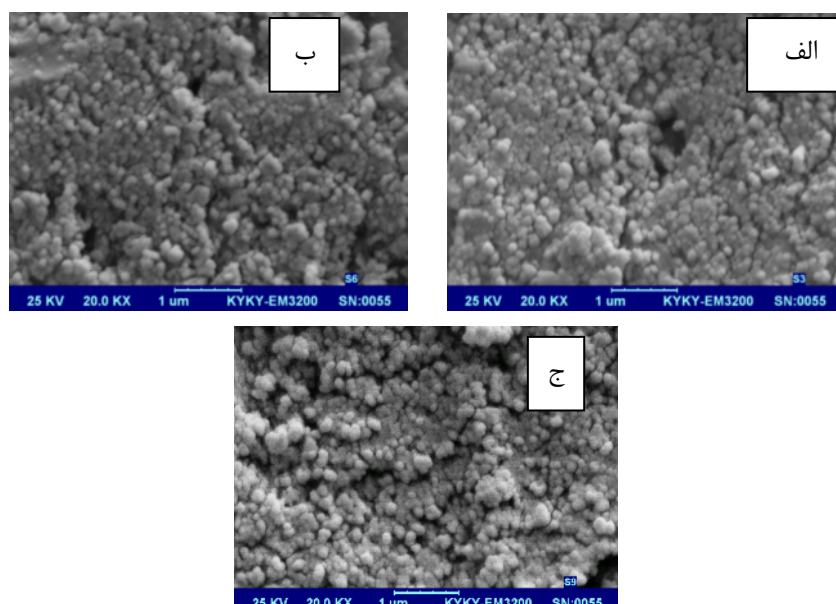
$$R_{x''} = a\sqrt{4u^2 - 3u + \frac{11}{16}} \quad 8$$

مقادیر R_x , $R_{x'}$, $R_{x''}$ در جدول ۲ آورده شده‌اند. واضح است که مقادیر R_x , $R_{x'}$ و $R_{x''}$ به ترتیب، با افزایش جای‌نشانی روی، افزایش، کاهش و افزایش می‌یابند. مشابه این نتایج برای فریت‌های کادمیوم-روی و نیکل روی کادمیوم گزارش شده است [۲۵ و ۲۷]. بررسی‌های آرین نشان داد که علت افزایش طول پیوند R_A و لبه‌ی چاروجهی R_x ، افزایش مقدار δ است. افزایش مقدار δ با افزایش جای‌نشانی روی به این معناست که فضای اشغال شده به وسیله‌ی یون آهن در جایگاه چاروجهی با جای‌نشانی یون روی افزایش پیدا می‌کند [۲۵].

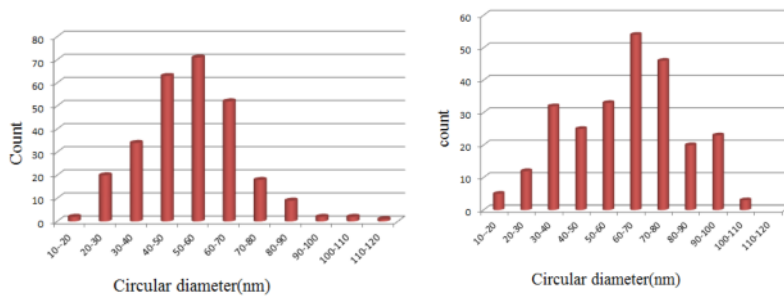
به‌منظور بررسی نوع پیوندهای موجود در پودرها در دمای اتاق و برای تأیید ساختار فاز اسپینلی در نمونه‌ها، از پودرهای سنتز شده، طیف FT-IR فریت منیزیم روی با ترکیب $\text{Mg}_{1-x}\text{Zn}_x\text{Fe}_2\text{O}_4$ با مقادیر جای‌نشانی (0.18 , 0.14 , 0.05 , 0.06 , 0.02 , $x=0$)، در گستره‌ی بسامدی $450\text{--}4000\text{ cm}^{-1}$ با استفاده از اسپکتروفوتومتر فروسرخ مورد بررسی قرار گرفتند. قله‌های تشکیل شده در طیف FT-IR نمونه‌ها در شکل ۴ نشان داده شده‌اند. قله‌ها، متناظر با پیوندهای تشدیدی در گستره 1099 cm^{-1} مطابق با ارتعاشات انبساطی NO به سبب گروه نیترات است [۲۸]. همچنین گستره $1638/03\text{ cm}^{-1}$ به علت ارتعاشات انبساطی O-H حاصل تداخل با پیوند های H است [۲۹]. جذب پیوندها در ناحیه 1350 cm^{-1} به یون‌های NO_3^- نسبت داده می‌شود [۳۰]. پیوند جذب سطحی در 2340 cm^{-1} بنابر KBr است [۲۹]. گستره‌ی بین $3150\text{--}3450\text{ cm}^{-1}$ به پهنه‌ی جذب پیوند کششی مولکول آب و گروه پیوند O-H مربوط است. این پیوندها به علت محلول حاوی اسید سیتریک و نیترات‌های فلزی به وجود می‌آیند [۳۰]. مهم‌ترین بخش FT-IR در ارتباط با تحلیل نمونه‌های ساخته شده، به دو پیوند بسامدی V_1 و V_2 در گستره‌ی $450\text{--}300\text{ cm}^{-1}$ و $800\text{--}500\text{ cm}^{-1}$ مربوط است. این پیوندها

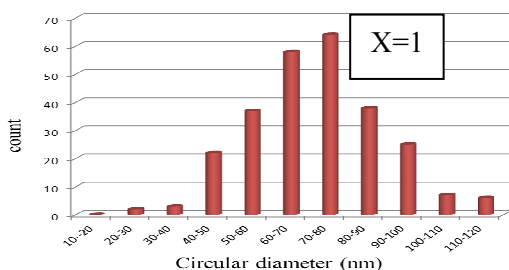


شکل ۴ طیف فروسرخ نانوذرات فریت منیزیم جای‌نشانی شده با روی $(x = 0, 0.2, 0.4, 0.5, 0.6, 0.8, 1) \text{Mg}_{1-x}\text{Zn}_x\text{Fe}_2\text{O}_4$



شکل ۵ تصاویر میکروسکوپ الکترونی روبشی نانوذرات فریت منیزیم جای‌نشانی شده با روی $\text{Mg}_{1-x}\text{Zn}_x\text{Fe}_2\text{O}_4$ (الف) $x = 0$, (ب) $x = 0.5$, (ج) $x = 1$



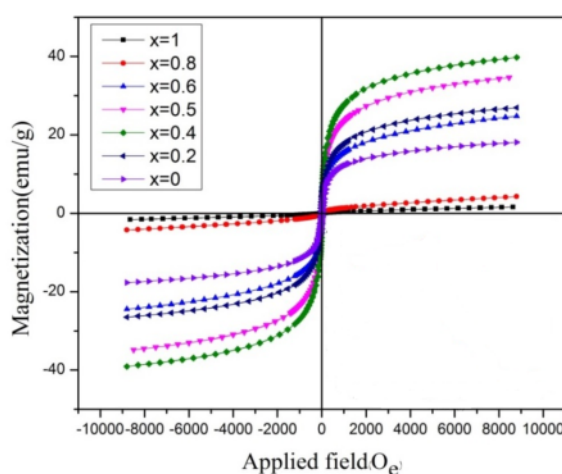
شکل ۶ نمودار تعداد نانوذرات بر حسب اندازه نانوذرات فریت منیزیم روی ذرات (Mg_{1-x}Zn_xFe₂O₄)_{1-x} (x = 0, 0.5, 1)

شده در مغناطش برای نمونه‌های $x=0.4$ به افزایش مغناطش در جایگاه B ناشی از مهاجرت یون‌های آهن از A به B نسبت داده می‌شود. همچنین مشاهده می‌شود که با افزایش جائی‌نشانی برای نمونه‌های $x=0.4$ مغناطش کاهش می‌یابد این می‌تواند به احتمال کج شدگی اسپین در سیستم نسبت داده شود. به علت رقیق‌سازی Zir بشکه A با جائی‌نشانی روی، برهمنش تبادلی J_{AB} ، به طور محسوس کاهش می‌یابد و در نتیجه کج شدگی گشتاور مغناطیسی یون آهن در جایگاه هشت وجهی افزایش و مغناطش موثر در این جایگاه کاهش می‌یابد. اما تغییرات مغناطش تنها به دلیل مهاجرت گشتاور مغناطیسی مؤثر در جایگاه‌های چاروچهی و هشتوجهی نیست. بررسی‌های ساختاری نشان داد که با جائی‌نشانی روی زوایا و طول پیوند در جایگاه‌های چاروچهی و هشتوجهی تغییر می‌کند.

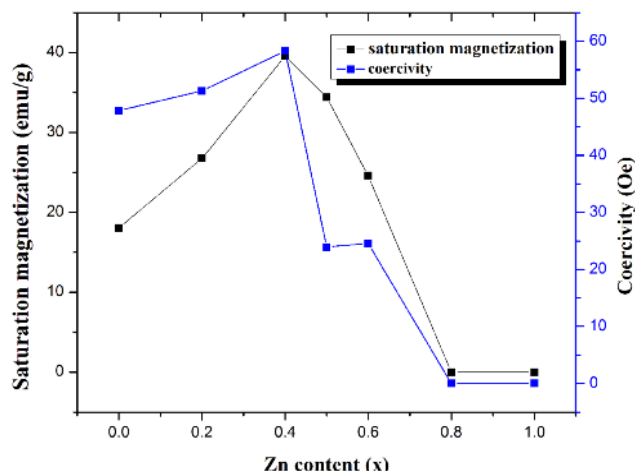
شکل ۸ تغییرات نیروی وادارندگی فریت منیزیم روی را با افزایش جائی‌نشانی روی نشان می‌دهد. مقادیر نیروی وادارندگی در جدول ۱ آورده شده است. چنان‌که در شکل ۸ مشاهده می‌شود نیروی وادارندگی برای نمونه‌های $x=0.4$ افزایش می‌یابد و با ادامه جائی‌نشانی کاهش می‌یابد. با توجه به این که نیروی وادارندگی با ثابت ناهمسانگردی رابطه‌ی مستقیم دارد $M_s H_c = k_1$ و ناهمسانگردی فریت منیزیم نیز از فریت روی بیشتر است [۳۵-۳۷] انتظار می‌رود که با افزایش جائی‌نشانی روی نیروی وادارندگی کاهش یابد. اما در نمونه‌های $x=0.4$ نیروی وادارندگی افزایش می‌یابد که این افزایش را می‌توان به تغییرات اندازه ذرات نسبت داد.

به منظور بررسی تأثیر جائی‌نشانی روی بر خواص مغناطیسی نمونه‌های فریت منیزیم روی، چرخه‌ی پسماند همه‌ی نمونه‌ها در دمای اتاق مورد بررسی قرار داده شد. همانطور که در شکل ۷ مشاهده می‌شود نمونه‌ها به ازای $x=0.6$ دارای چرخه پسماند هستند و رفتار فری مغناطیسی دارند و نمونه‌های $x=0.8$ دارای چرخه پارامغناطیسی را نشان می‌دهند. مقادیر M_s با جائی‌نشانی روی در جدول ۱ آورده شده‌اند. از شکل ۷ پیداست که مقدار مغناطش اشباع (M_s) از $x=0.4$ افزایش می‌یابد و برای $x=0.4$ روند کاهشی را در مقدار M_s مشاهده می‌کنیم.

در فریت منیزیم روی، هردو یون منیزیم و روی دیامغناطیسی هستند و گشتاور مغناطیسی آهن ۵ مگنтон بوهر است. افزایش اولیه‌ی مغناطش کل با جائی‌نشانی روی، را می‌توان بر مبنای نظریه‌ی نیل برای فریت‌های اسپینلی توضیح داد. بر مبنای این نظریه در حالت ایده‌آل، کاتیون‌ها در دو زیر بشکه مختلف هشتوجهی و چاروچهی دارای گشتاورهای مغناطیسی هم‌راستا ولی در خلاف جهت هم هستند. گشتاور خالص بشکه، از اختلاف بین گشتاورهای مغناطیسی زیر شبکه‌های A و B به دست می‌آید، $M = |M_B - M_A|$. در واقع گشتاور مغناطیسی هر ترکیب از نمونه‌ها به توزیع یون‌های Fe^{3+} بین دو زیر شبکه‌ی A و B وابسته است [۳۴]. با توجه به جایگاه ترجیحی یون‌های منیزیم و روی، جائی‌نشانی روی به مهاجرت یون‌های آهن از جایگاه چاروچهی به جایگاه هشتوجهی می‌شود که باعث افزایش مغناطش جایگاه هشتوجهی و کاهش جایگاه چاروچهی می‌شود بدین ترتیب افزایش مشاهده



شکل ۷ منحنی پسماند مغناطیسی نمونه‌های فربیت منیزیم روی $(\text{x} = 0, 0.2, 0.4, 0.5, 0.6, 0.8, 1)\text{Mg}_{1-x}\text{Zn}_x\text{Fe}_2\text{O}_4$



شکل ۸ نمودار مغناطیش اشباع و وادارندگی نانوذرات فربیت منیزیم روی $(\text{x} = 0, 0.2, 0.4, 0.5, 0.6, 0.8, 1)\text{Mg}_{1-x}\text{Zn}_x\text{Fe}_2\text{O}_4$

منجر به افزایش گشتاور مغناطیسی در جایگاه هشت وجهی خواهد شد. کاهش در مغناطیش اشباع با افزایش جاینشانی برای مقادیر $x=0.5$ تا $x=1$ مشاهده شد که می‌تواند به کچ شدگی اسپین نسبت داده شود. نیروی وادارندگی نمونه‌ها نیز نخست افزایش و سپس کاهش می‌یابد.

مراجع

- [1] Pradhan. S.K, Bid. S., Gateshki. M, Petkov. V, "Microstructure characterization and cation distribution of nanocrystalline magnesium ferrite prepared by ball milling", Materials Chemistry and Physics 93 (2005) 224–230.
- [2] Yahya N., Aripin. A. S. M. N, Aziz A. A, Daud Zaid. H., H. M, Pah. L. K, Maarof. N., "Synthesis and Charaterization of Magnesium Zinc Ferrites

برداشت

در این تحقیق نانو ذرات فربیت منیزیم روی به روش سل ژل ساخته شد. نمودار پراش پرتو ایکس، ساختار اسپینل مکعبی تکفارز را برای تمام نمونه‌ها تائید می‌کند. اندازه بلورک‌ها با افزایش جاینشانی روی از ۱۳ تا ۲۹ نانو متر براورد شد.

افزایش اندازه بلورک‌ها را می‌توان به تغییرات آنتالپی تشکیل نمونه‌ها نسبت داد. با افزایش جاینشانی روی دمای سطحی کاهش یافته و تراکم مولکولی ذرات کوچک روی سطح افزایش می‌یابد، و باعث رشد بلور می‌شود. تحلیل SEM نشان داد که ذرات تقریباً کروی شکل هستند و توزیع اندازه ذرات یکنواخت است. با افزایش جاینشانی روی، مغناطیش اشباع نمونه‌ها از $x=0.4$ تا $x=0.8$ افزایش یافت. زیرا جاینشانی روی

- rapid microwave combustion method", Super lattice and microstructures* 64 (2013) 118-131.
- [14] Bhandare M.R., Jamadar H.V., Pathan A.T., Chougule B.K., Shaikh A.M., "Dielectric properties of Cu substituted $Ni_{0.5-x}Zn_{0.3}Mg_{0.2}Fe_2O_4$ ferrites", *Journal of Alloys and Compounds* 509 (2011) L113–L118.
- [15] Upadhyay C., Verma H. C., Anand S., "Cation distribution in nanosized Ni-Zn ferrites", *J. Appl. Phys.* 95 (2004) 5746
- [16] Navrotsky A., Kleppa O. J., "Thermodynamics of formation of simple spinels", *J. inorg.nucl. chem.* 30 (1968) 479-498.
- [17] Gul I.H., Ahmed W., Maqsood A., "Electrical and magnetic characterization of nanocrystalline Ni-Zn ferrite synthesis by co-precipitation route", *Journal of Magnetism and Magnetic Materials* 320 (2008) 270–275.
- [18] Gabal M.A., "Magnetic properties of NiCuZn ferrite nanoparticles synthesized using egg white", *Materials research Bulletin* 45 (2010) 589-593.
- [19] Standley K. J., Clarendon Press, Oxford "Oxid magnetic materials" (1990).
- [20] Smit J., Wijn H. P. J., "Ferrites", (1959) 149.
- [21] Corliss L. M., Hastings J. M., "A Neutron Diffraction Study of Magnesium Ferrite", *Physical Review*, 90 (1953) 1013- 1018.
- [22] Hastings J. M., Corliss L. M., "Neutron diffraction studies of zinc ferrite and nickel ferrite", *Reviews of modern physics*, 25 (1953) 114-119.
- [23] Mohammed K.A., Rawas A.D., Gismelseed A.M., Sellai A., Widatallah H.M., Yousif A., Elzain M.E., Shongwe M., "Infrared and structural studies of $Mg_{1-x}Zn_xFe_2O_4$ ferrites", *Physica B* 407 (2012) 795–804.
- [24] Dhiman R. L., Taneja S. P., Reddy V. R., "Structural and Mossbauer Spectral Studies of Nanosized Aluminum Doped Manganese Zinc Ferrites", *Advances in Condensed Matter Physics*, 2008 (2008) 1-8.
- [25] Levine B. F., "d-Electron Effects on Bond Susceptibilities and Ionicities", *Physical Review B*, 7 (1973) 2591- 2600.
- [26] Otero Arean C., "Crystal Chemistry of Cadmium-Zinc Ferrites", *Journal of solid state chemistry*, 77 (1988) 275-280.
- as Electromagnetic Source", *American J. of Engineering and Applied Sciences* 1 (2008) 54-57.
- [3] Pedzich Z., Bucko M. a. M., Mich likowski K., Bakalarska M.g., Babiarz J., "Microstructure and properties of Mg-Zn ferrite as a result of sintering temperature", *Journal of the European Ceramic Society* 24 (2004) 1053–1056.
- [4] Goldman A., "Modem Ferrite Technology", 2 Ed (2006) 59.
- [5] Sinha M., Dutta H., Pradhan S.K., "X-ray characterization and phase transformation kinetics of ball-mill prepared nanocrystalline Mg-Zn-ferrite at elevated temperatures", *Physica E* 33 (2006) 367–369.
- [6] El Hiti M.A., "Dielectric behaviour in Mg-Zn ferrites", *Journal of Magnetism and Magnetic Materials* 192 (1999) 305-313.
- [7] Barati M.R., "Influence of zinc substitution on magnetic and electrical properties of MgCuZn ferrite nanocrystalline powders prepared by sol-gel, auto-combustion method", *Journal of Alloys and Compounds* 478 (2009) 375–380.
- [8] Mazen S. A., Mansour S. F., Zaki H. M., "Some physical and magnetic properties of Mg-Zn ferrite", *Cryst. Res. Technol* 38 (2003) 471 – 478.
- [9] Ounnunkad S., Winotai P., Phanichphant S., "Cation distribution and magnetic behavior of $Mg_{1-x}Zn_xFe_2O_4$ ceramics monitored by Mossbauer spectroscopy", *J Electroceram* 16 (2006) 363–368.
- [10] Manjurul Haque M., Huq M., Hakim M. A., "Effect of Zn^{2+} substitution on the magnetic properties of $Mg_{1-x}Zn_xFe_2O_4$ ferrites", *Physica B* 404 (2009) 3915–3921.
- [11] Ailin Xia, ShunkaiLiu, ChuanguiJin, LuChen, YaohuiLv, "Hydrothermal $Mg_{1-x}Zn_xFe_2O_4$ spinel ferrites: Phase formation and mechanism of saturation magnetization", *Materials Letters* 105 (20013) 199–201.
- [12] Choodamani C., Nagabhushana G.P., Ashoka S., Daruka Prasad B., Rudraswamy B., "Structural and magnetic studies of $Mg_{(1-x)}Zn_xFe_2O_4$ nanoparticles prepared by a solution combustion method", *Journal of Alloys and compounds*, 578(20013) 103-109.
- [13] Manikandan A., Judith Vijaya J., Sundarajan M., Meganathan C., John Kennedy L., Bououdine M., "Optical and magnetic properties of Mg-doped $ZnFe_2O_4$ nanoparticles prepared by

- [33] Zaki H.M., Dawoud H.A., "Far-infrared spectra for copper–zinc mixed ferrites", *Physica B* 405 (2010) 4476–4479.
- [34] Mazen S.A., Abu-Elsaad N.I., "Structural and some magnetic properties of manganese-substituted lithium ferrites", *Journal of Magnetism and Magnetic Materials* 324 (2012) 3366–3373.
- [35] Kambale R.C., Shaikh P.A., Kamble S.S., Kolekar Y.D., "Effect of cobalt substitution on structural, magnetic and electric properties of nickel ferrite", *Journal of Alloys and Compounds* 478 (2009) 599–603.
- [36] Ajmal M., Asghari M., "AC conductivity, density related and magnetic properties of Ni_{1-x}Zn_xFe₂O₄ ferrites with the variation of zinc concentration", *Materials Letters* 62 (2008) 2077–2080.
- [37] Nadeem K., Shahid M., Mumtaz M., "Competing crystallite size and zinc concentration in silica coated cobalt ferrite nanoparticles", *Progress in Natural Science: Materials International* (2014), <http://dx.doi.org/10.1016/j.pnsc.2014.05.011>.
- [27] Siva Ram Prasad M., Prasad B.B.V.S.V., Rajesh B., Rao K.H., Ramesh K.V., "Magnetic properties and DC electrical resistivity studies on cadmium substituted nickel–zinc ferrite system", *Journal of Magnetism and Magnetic Materials* 323 (2011) 2115–2121.
- [28] Priyadharsini P., Pradeep A., Sambasiva P., Chandrasekaran G., "Structural, Spectroscopic and magnetic study of nanocrystalline Ni-Zn ferrites", *Mater. Chem. Phys.* 116 (2009) 207-213.
- [29] Sutka A., Borisova A., Kleperis J., Mezinskis G., Jakovlevs D., Juhnevica I., "effect of nickel addition on colour of nanometer spinel zinc ferrite pigmenta", *Journal of the Australian Ceramic Society Volume 48[2]*, 2012, 150 – 155.
- [30] Raghavender A.T., Biliskov N., Skoko Z., "XRD and IR analysis of nanocrystalline Ni–Zn ferrite synthesized by the sol–gel method", *Materials Letters* 65 (2011) 677–680.
- [31] Waldron R. D., "Infrared Spectra of Ferrites", *Physical Review* 99 (1955) 1727-1735.
- [32] Deraz N.M., "Fabrication, characterization and magnetic behaviour of alumina-doped zinc ferrite nano-particles", *Journal of Analytical and Applied Pyrolysis* 91 (2011) 48–54.